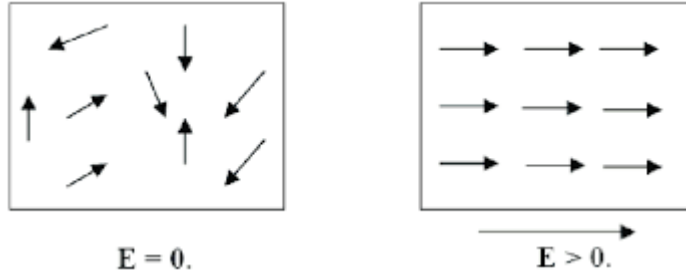
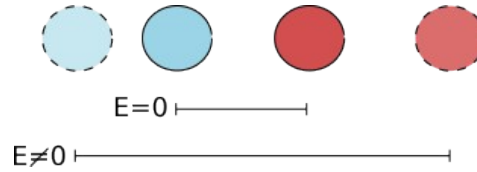


1.1 Tipos de polarización

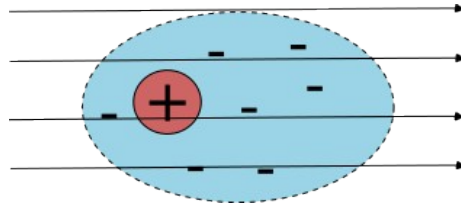
Dipolar \vec{P}_d



Iónica \vec{P}_i



Electrónica \vec{P}_e



$$\vec{P} = \vec{P}_d + \vec{P}_i + \vec{P}_e$$

1.1 Tipos de polarización

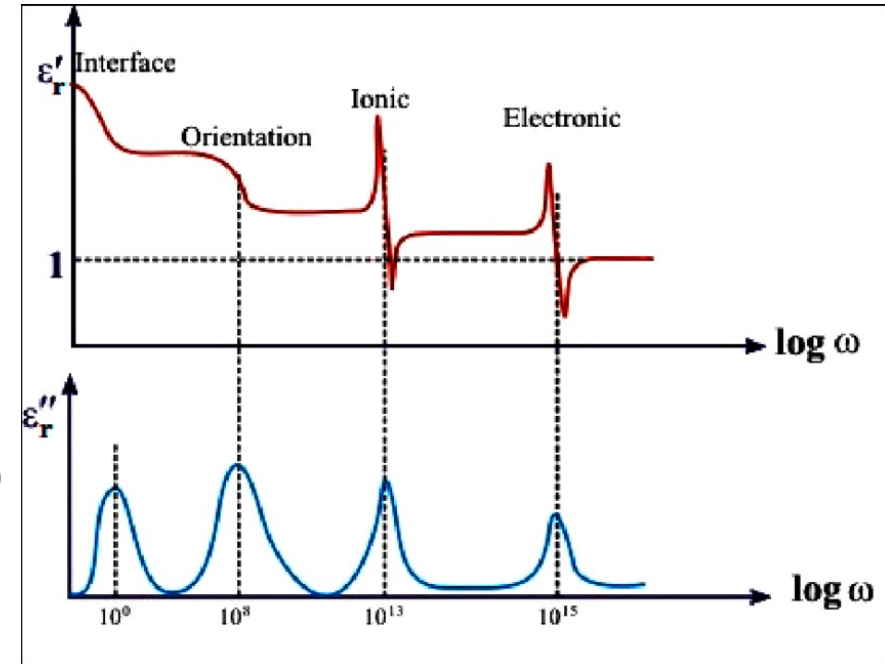
Existen rangos de frecuencia efectivos para los distintos tipos de polarización

- Rango **bajo**: $\vec{P} = \vec{P}_d + \vec{P}_i + \vec{P}_e$
- Rango **medio**: $\vec{P} = \vec{P}_i + \vec{P}_e$
- Rango **alto**: $\vec{P} = \vec{P}_e$

Causa: las estructuras más grandes necesitan
Un tiempo mayor para orientarse hacia el campo



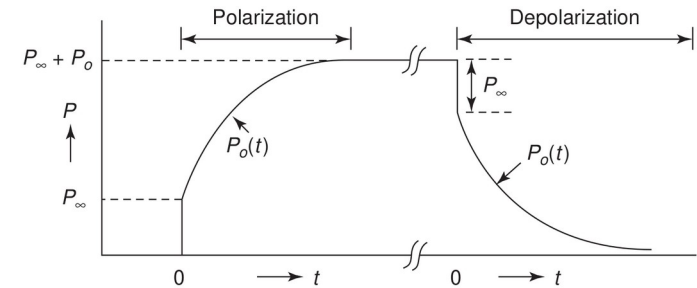
Su contribución se atenúa



1.2 Ecuaciones de relajación de Debye

Modelo para la zona donde actúa la polarización dipolar,
Si deja de actuar el campo eléctrico los dipolos vuelven a su posición inicial según:

$$\vec{P}_d = \vec{P}_{d0} \cdot e^{\frac{-t}{\tau}} \quad \xrightarrow{\mathcal{F}} \quad \vec{P}_d = \frac{\vec{P}_{d0}}{1/\tau + j\omega}$$



Queremos encontrar $\epsilon(\omega)$

$$\vec{D} = \epsilon_0 \vec{E} + \vec{P}_i + \vec{P}_e + \vec{P}_d = \boxed{\epsilon_\infty} \vec{E} + \vec{P}_d$$

Contribución
instantánea del
resto de
componentes

¿Relación entre P y E? $\vec{P}_d(\omega) = \frac{\vec{P}_{d0}}{1/\tau + j\omega} = \epsilon_0 \chi_e \vec{E}(\omega)$

1.2 Ecuaciones de relajación de Debye

Despejando tenemos:

$$\epsilon_0 \chi_e = \frac{\mathbf{P}_{d0}}{\mathbf{E}} \frac{1}{1/\tau + j\omega} \Rightarrow \vec{\mathbf{D}} = \vec{\mathbf{E}} \left(\epsilon_\infty + \frac{\chi_s}{1/\tau + j\omega} \right) = \epsilon_c \vec{\mathbf{E}} \quad \boxed{\chi_s \equiv \frac{\mathbf{P}_{d0}}{\mathbf{E}}}$$

Valor de saturación $\epsilon_s \equiv \tau \chi_s - \epsilon_\infty$ (ϵ' máximo)

Identificando parte real e imaginaria:

$$\epsilon' = \epsilon_\infty + \frac{\epsilon_s - \epsilon_\infty}{1 + (\omega \tau)^2}$$

$$\epsilon'' = \omega \tau \frac{\epsilon_s - \epsilon_\infty}{1 + (\omega \tau)^2}$$

1.2 Ecuaciones de relajación de Debye

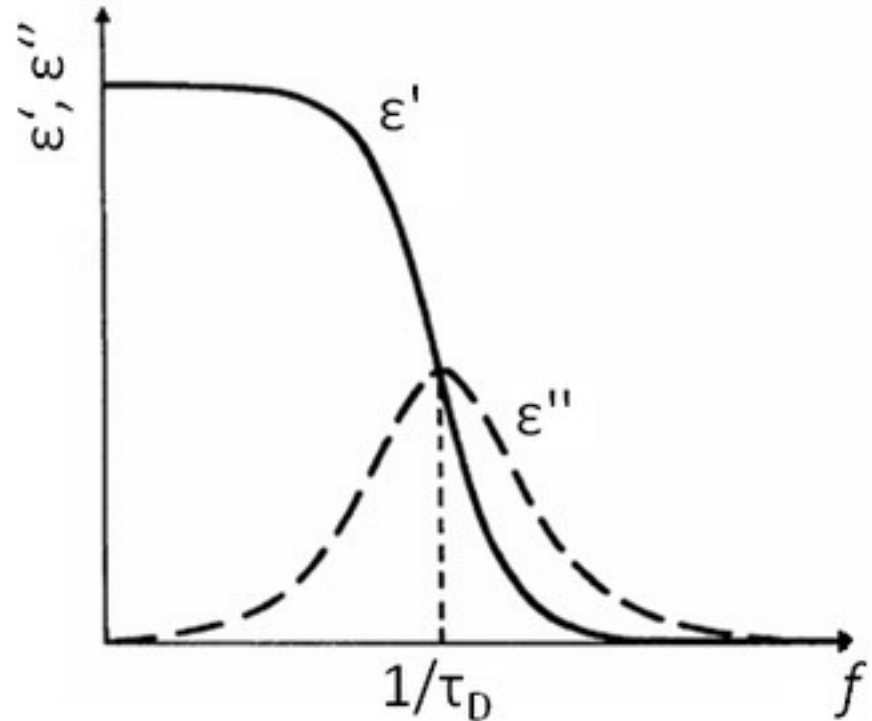
$$\omega \rightarrow 0 \Rightarrow \varepsilon_c = \varepsilon_s$$

$$\omega \rightarrow \infty \Rightarrow \varepsilon_c = \varepsilon_\infty$$

Máximo en pérdidas:

$$\omega = \frac{1}{\tau} \equiv \omega_0$$

Limitación: La forma de la gráfica se deformará en presencia de distintos tiempos de relajación



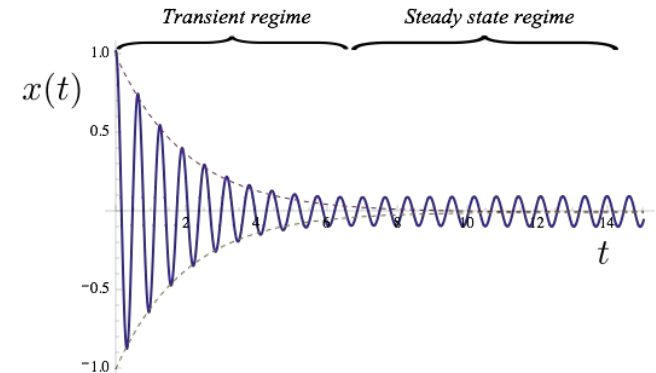
1.3 Polarización iónica y electrónica, frecuencia de resonancia

Polarización iónica y electrónica, se utiliza un modelo de oscilador amortiguado

Ecuación de movimiento

$$\frac{d^2 \mathbf{x}}{dt^2} + \gamma \frac{d\mathbf{x}}{dt} + \omega_0^2 \mathbf{x} = \frac{q}{m} \mathbf{E} e^{j\omega t} \xrightarrow[t \gg 0]{\text{Solución forzada}} \vec{\mathbf{x}} = \frac{q}{m} \frac{1}{\omega_0 - \omega^2 + j\gamma\omega} \vec{\mathbf{E}}$$

- γ Constante de amortiguación
- m, q Masa y carga a considerar (electrón o ión)
- $\omega_0 \equiv \sqrt{\gamma/m}$ Frecuencia natural



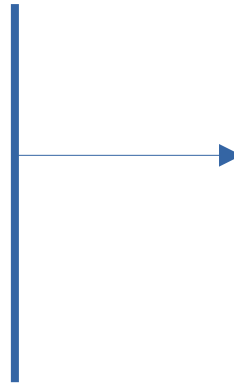
1.3 Polarización iónica y electrónica, frecuencia de resonancia

Siguiendo un procedimiento igual al modelo de Debye:

$$\vec{P} = \varepsilon_0 \chi_e \vec{E} = Nq \vec{x}$$

$$\vec{D} = \varepsilon_0 \vec{E} + \vec{P}$$

$$\vec{x} = \frac{q}{m} \alpha(\omega) [(\omega_0^2 - \omega^2) - j\gamma\omega] \vec{E}$$



$$\varepsilon' = \varepsilon_0 + \frac{Nq^2}{m} \alpha(\omega) (\omega_0^2 - \omega^2)$$

$$\varepsilon'' = \frac{Nq^2}{m} \alpha(\omega) \gamma \omega$$

$$\alpha(\omega) \equiv \frac{1}{(\omega_0^2 - \omega^2) + \gamma^2 \omega^2}$$

1.3 Polarización iónica y electrónica, frecuencia de resonancia

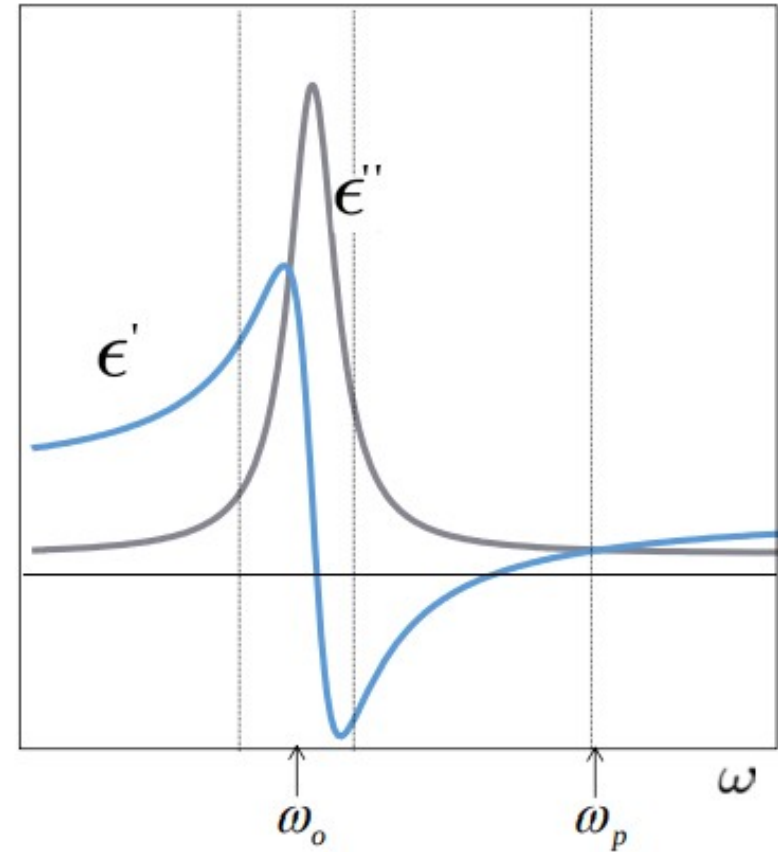
Consecuencias

Tenemos un máximo en pérdidas debido a resonancia en ω_0

La masa de los iones será mucho mayor así que su frecuencia de resonancia será menor

Límites del modelo:

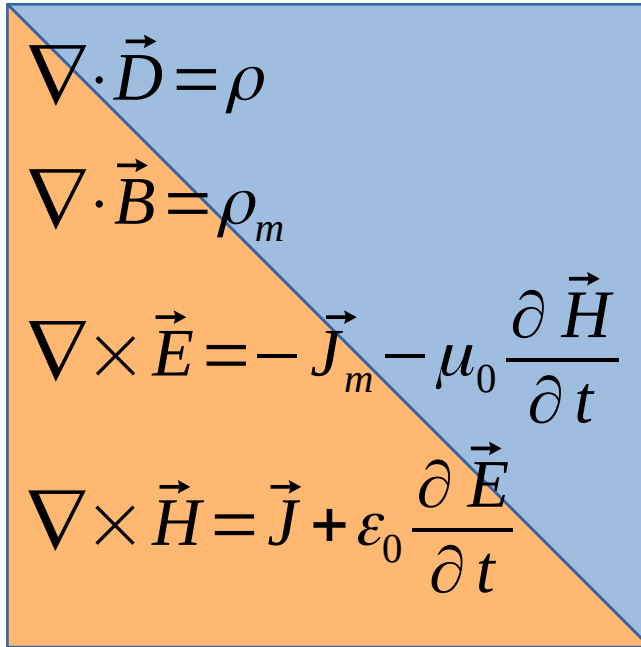
- Ignora interacciones entre moléculas
- Campo local pequeño
- No contempla distintas constantes y frecuencias de resonancia



Ecuaciones simétricas de Maxwell

9.1 Ecuaciones simétricas de Maxwell

De forma teórica y con objetivo de simetrizar las ecuaciones de Maxwell introducimos las **fuentes magnéticas**


$$\begin{aligned}\nabla \cdot \vec{D} &= \rho \\ \nabla \cdot \vec{B} &= \rho_m \\ \nabla \times \vec{E} &= -\vec{J}_m - \mu_0 \frac{\partial \vec{H}}{\partial t} \\ \nabla \times \vec{H} &= \vec{J} + \varepsilon_0 \frac{\partial \vec{E}}{\partial t}\end{aligned}$$

En medios lineales

$$\vec{D} = \vec{D}_e + \vec{D}_m$$

$$\vec{B} = \vec{B}_e + \vec{B}_m$$

m \longleftrightarrow Magnéticas

e \longleftrightarrow Reales

9.1 Ecuaciones simétricas de Maxwell

De la linealidad:

$$\nabla \cdot \vec{D}_e = \rho$$

$$\nabla \cdot \vec{B}_e = 0$$

$$\nabla \times \vec{E}_e = -\mu_0 \frac{\partial \vec{H}_e}{\partial t}$$

$$\nabla \times \vec{H}_e = \vec{J} + \varepsilon_0 \frac{\partial \vec{E}_e}{\partial t}$$

$$\nabla \cdot \vec{D}_m = 0$$

$$\nabla \cdot \vec{B}_m = \rho_m$$

$$\nabla \times \vec{E}_m = -\vec{J}_m - \mu_0 \frac{\partial \vec{H}_m}{\partial t}$$

$$\nabla \times \vec{H}_m = \varepsilon_0 \frac{\partial \vec{E}_m}{\partial t}$$

9.1 Ecuaciones simétricas de Maxwell

De la linealidad:

$$\nabla \cdot \vec{D}_m = 0$$

$$\nabla \cdot \vec{B}_m = \rho_m$$

$$\nabla \times \vec{E}_m = -\vec{J}_m - \mu_0 \frac{\partial \vec{H}_m}{\partial t} \rightarrow$$

$$\nabla \times \vec{H}_m = \varepsilon_0 \frac{\partial \vec{E}_m}{\partial t}$$

$$\nabla \cdot [-\mu_0 \vec{E}_m] = 0$$

$$\nabla \cdot [\vec{B}_m / \varepsilon_0] = \rho_m / \varepsilon_0$$

$$\nabla \times [-\mu_0 \vec{E}_m] = \mu_0 \left[\vec{J}_m + \varepsilon_0 \frac{\partial \vec{B}_m / \varepsilon_0}{\partial t} \right]$$

$$\nabla \times [\vec{B}_m / \varepsilon_0] = \frac{-\partial [-\mu_0 \vec{E}_m]}{\partial t}$$

Dualidad entre campos

9.1 Ecuaciones simétricas de Maxwell

Podemos expresar los campos magnéticos en función de sus propios potenciales:

$$\nabla \cdot \vec{D}_m = 0 \Rightarrow \vec{D}_m = -\nabla \times \vec{F}$$

$$\nabla \times \vec{H}_m = \epsilon_0 \frac{\partial \vec{E}_m}{\partial t} \Rightarrow \nabla \times \left(\vec{H}_m + \frac{\partial \vec{F}}{\partial t} \right) = 0 = -\nabla \Psi$$

Usando
dualidad



$$\vec{D}_m = -\nabla \times \vec{F}$$

$$\vec{H}_m = -\nabla \Psi - \frac{\partial \vec{F}}{\partial t}$$

$$\Psi = \frac{1}{4\pi\mu_0} \int_{v'} \frac{[\rho_m]}{R} dv'$$

$$\vec{F} = \frac{\epsilon_0}{4\pi} \int_{v'} \frac{[\vec{J}_m]}{R} dv'$$

9.1 Ecuaciones simétricas de Maxwell

Dualidad entre los **campos**:

\vec{B}_e	$-\mu_0 \vec{E}_m$
\vec{E}_e	\vec{B}_m / ϵ_0
Φ	$\frac{\mu_0}{\epsilon_0} \Psi$
\vec{A}	$\frac{\mu_0}{\epsilon_0} \vec{F}$

Dualidad de las **fuentes**

ρ	ρ_m
\vec{J}	\vec{J}_m

9.1 Ecuaciones simétricas de Maxwell

La elección no es única

$$\vec{B}_e$$

$$\vec{E}_e$$

$$\Phi$$

$$\vec{A}$$

$$-\mu_0 \vec{E}_m$$

$$\vec{B}_m / \epsilon_0$$

$$\Psi$$

$$\vec{F}$$

$$\rho$$

$$\vec{J}$$

$$\epsilon_0$$

$$\mu_0$$

$$\rho_m$$

$$\vec{J}_m$$

$$\mu_0$$

$$\epsilon_0$$

9.1 Ecuaciones simétricas de Maxwell

Algunos ejemplos de fórmulas magnéticas

Ecuaciones de onda no homogéneas

$$\nabla^2 \vec{A} - \mu_0 \varepsilon_0 \frac{\partial^2 \vec{A}}{\partial t^2} = -\mu_0 \vec{J}$$

$$\nabla^2 \Phi - \mu_0 \varepsilon_0 \frac{\partial^2 \Phi}{\partial t^2} = \frac{-\rho}{\varepsilon_0}$$

$$\nabla^2 \vec{F} - \mu_0 \varepsilon_0 \frac{\partial^2 \vec{F}}{\partial t^2} = -\varepsilon_0 \vec{J}_m$$

$$\nabla^2 \Psi - \mu_0 \varepsilon_0 \frac{\partial^2 \Psi}{\partial t^2} = \frac{-\rho_m}{\mu_0}$$

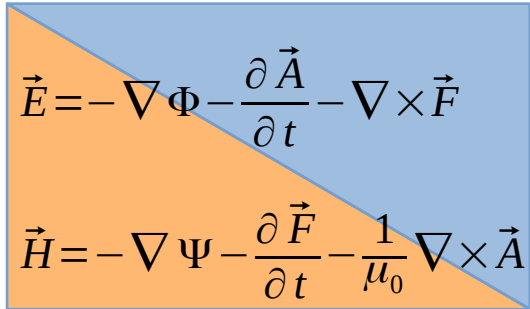
Campos de radiación lejanos

$$\vec{E}_{\cdot m, rad} = \frac{-1}{4\pi c r} \int_{V'} \frac{\partial \vec{J}_m(\vec{r}', t - \frac{r}{c} + \frac{\vec{r}' \cdot \hat{r}}{c})}{\partial t} \times \hat{r} dv'$$

$$\vec{B}_{\cdot m, rad} = \frac{1}{4\pi c^2 r} \int_{V'} \left[\frac{\partial \vec{J}_m(\vec{r}', t - \frac{r}{c} + \frac{\vec{r}' \cdot \hat{r}}{c})}{\partial t} \times \hat{r} \right] \times \hat{r} dv'$$

9.1 Ecuaciones simétricas de Maxwell

Soluciones generales de los campos en función de los potenciales


$$\vec{E} = -\nabla\Phi - \frac{\partial\vec{A}}{\partial t} - \nabla\times\vec{F}$$
$$\vec{H} = -\nabla\Psi - \frac{\partial\vec{F}}{\partial t} - \frac{1}{\mu_0}\nabla\times\vec{A}$$

Simétricas

Condiciones de frontera

$$\hat{n}\cdot(\vec{D}_2 - \vec{D}_1) = \rho_s$$

$$\hat{n}\cdot(\vec{B}_2 - \vec{B}_1) = \rho_{sm}$$

$$\hat{n}\times(\vec{E}_2 - \vec{E}_1) = -\vec{J}_{sm}$$

$$\hat{n}\times(\vec{H}_2 - \vec{H}_1) = \vec{J}_s$$

9.1 Ecuaciones simétricas de Maxwell

PEC

$$\hat{n} \cdot \vec{D}_2 = \rho_s$$

$$\hat{n} \times \vec{E}_2 = 0$$

Lineas de E normales a la superficie

$$\hat{n} \cdot \vec{B}_2 = 0$$

$$\hat{n} \times \vec{H}_2 = \vec{J}_s$$

PMC, Análogo con fuentes magnéticas y H

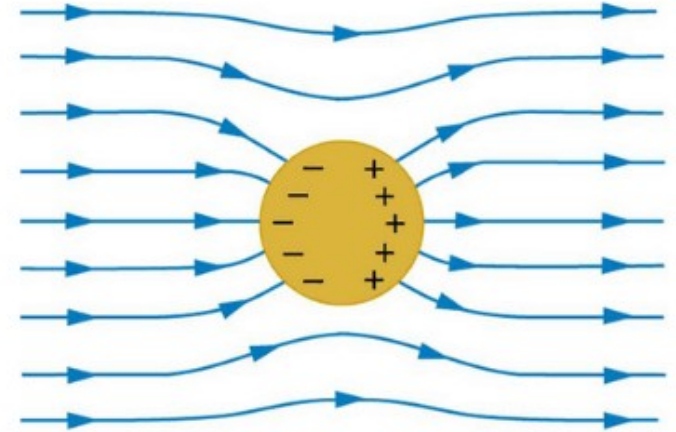
$$\hat{n} \cdot \vec{D}_2 = 0$$

$$\hat{n} \cdot \vec{B}_2 = \rho_{sm}$$

$$\hat{n} \times \vec{E}_2 = -\vec{J}_{sm}$$

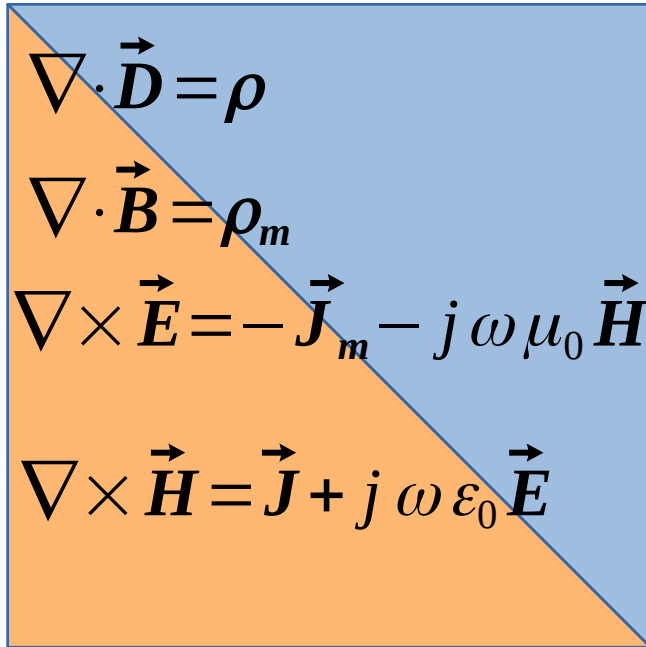
$$\hat{n} \times \vec{H}_2 = 0$$

Lineas de H normales a la superficie



9.1 Ecuaciones simétricas de Maxwell

Variaciones armónicas

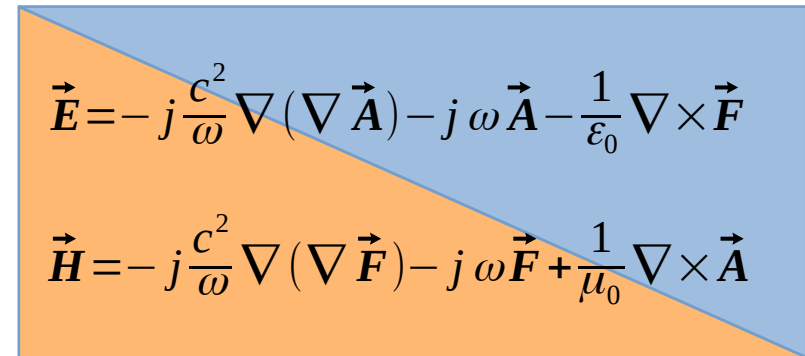


A square box divided diagonally from the top-left to the bottom-right. The upper-left triangle is orange and contains the first three equations. The lower-right triangle is light blue and contains the fourth equation.

$$\begin{aligned}\nabla \cdot \vec{D} &= \rho \\ \nabla \cdot \vec{B} &= \rho_m \\ \nabla \times \vec{E} &= -\vec{J}_m - j\omega\mu_0\vec{H} \\ \nabla \times \vec{H} &= \vec{J} + j\omega\varepsilon_0\vec{E}\end{aligned}$$

Condición de Lorentz

$$\Psi = \frac{j}{\omega\varepsilon_0\mu_0} \nabla \cdot \vec{F}$$



A square box divided diagonally from the top-left to the bottom-right. The upper-left triangle is orange and contains the equations for the electric field vector \vec{E} and the magnetic field vector \vec{H} . The lower-right triangle is light blue.

$$\begin{aligned}\vec{E} &= -j\frac{c^2}{\omega} \nabla (\nabla \cdot \vec{A}) - j\omega\vec{A} - \frac{1}{\varepsilon_0} \nabla \times \vec{F} \\ \vec{H} &= -j\frac{c^2}{\omega} \nabla (\nabla \cdot \vec{F}) - j\omega\vec{F} + \frac{1}{\mu_0} \nabla \times \vec{A}\end{aligned}$$

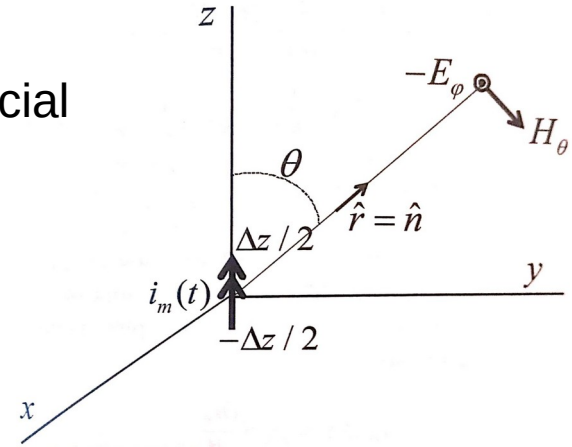
Solo necesitamos los potenciales vectoriales

9.1 Ecuaciones simétricas de Maxwell

Ejemplo: Elemento de corriente magnética diferencial

$$\vec{J}_m = i_m(t) \delta(x') \delta(y') z' \in [-\Delta z/2, \Delta z/2]$$

Usando dualidad:



$$\vec{E} = \vec{E}_m = \frac{-\Delta z}{4\pi} \left(\frac{1}{cr} \frac{d[i_m]}{dt} + \frac{1}{r^2} [i_m] \right) \sin \theta \hat{\phi}$$

$$\vec{B} = \vec{B}_m = \frac{\Delta z}{4\pi} \left(\frac{1}{r^3} \int_{-\infty}^t [i_m] dt + \frac{1}{cr^2} [i_m] \right) (2 \cos \theta \hat{r} + \sin \theta \hat{\theta}) + \frac{\Delta z}{4\pi} \frac{1}{c^2 r} \frac{d[i_m]}{dt} \sin \theta \hat{\theta}$$

$$\vec{E}_{\cdot m, rad} = \frac{-\Delta z}{4\pi cr} \frac{d[i_m]}{dt} \sin \theta \hat{\phi}$$

$$\vec{B}_{\cdot m, rad} = \frac{\Delta z}{4\pi \mu_0 c^2 r} \frac{d[i_m]}{dt} \sin \theta \hat{\theta}$$

9.1 Ecuaciones simétricas de Maxwell

Comparando con el generado por una espira real

$$\vec{E}_{m,rad} = \frac{-\Delta z}{4\pi c r} \frac{d[i_m]}{dt} \text{sen } \theta \hat{\varphi}$$

$$\vec{B}_{m,rad} = \frac{\Delta z}{4\pi c^2 r} \frac{d[i_m]}{dt} \text{sen } \theta \hat{\theta}$$

$$\vec{E}_{e,rad} = \frac{-\mu_0 S}{4\pi c r} \frac{d^2[i]}{dt^2} \text{sen } \theta \hat{\varphi}$$

$$\vec{B}_{e,rad} = \frac{\mu_0 S}{4\pi c^2 r} \frac{d^2[i]}{dt^2} \text{sen } \theta \hat{\theta}$$

$$i_m \Delta z = \mu_0 S \frac{di}{dt} \Leftrightarrow \dot{p}_m = \mu_0 \dot{m}$$

Dipolo magnético como cargas magnéticas

Teoremas fundamentales

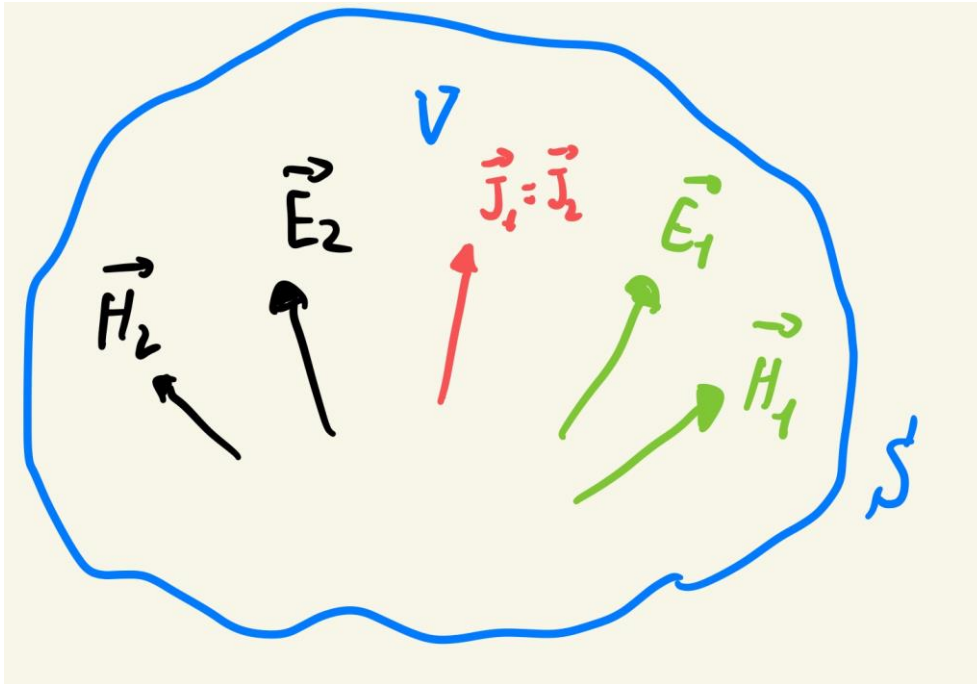
9.2.1 Teorema de Unicidad: Campos EM con variación temporal arbitraria

Solución única si conocemos:

-Fuentes en $t > t_0$ en interior V .

- $\vec{E}(t_0)$ y $\vec{H}(t_0)$.

- $t > t_0$, $\vec{E}_t(t)$ y $\vec{H}_t(t)$.



$$\begin{aligned}\vec{E}' &= \vec{E}_1 - \vec{E}_2 \\ \vec{H}' &= \vec{H}_1 - \vec{H}_2 \\ \vec{J}' &= \vec{J}_1 - \vec{J}_2 = 0\end{aligned}$$

9.2.1 Teorema de Unicidad: Campos EM con variación temporal arbitraria

Demostración:

$$\text{T}^0 \text{ Poynting: } - \int_V \vec{j}' \cdot \vec{E}' dV = \oint_S (\underbrace{\vec{E}' \times \vec{H}'}_{\text{}}) \cdot d\vec{S} + \frac{\partial}{\partial t} \int_V \frac{1}{2} (\vec{E}' \cdot \vec{D}' + \vec{B}' \cdot \vec{H}') dV + \int_V \sigma E'^2 dV$$

$$\vec{j}' = 0$$

$$(\vec{E}' \times \vec{H}') \cdot \vec{n} \cdot dS = (\vec{n} \times \vec{E}') \cdot \vec{H}' \cdot dS = (\vec{H}' \times \vec{n}) \cdot \vec{E}' \cdot dS$$

Integrando entre t y t_0 :

$$0 = \int_V \frac{1}{2} (\vec{E}' \cdot \vec{D}' + \vec{B}' \cdot \vec{H}') dV + \int_{t_0}^t \int_V \sigma E'^2 dV dt$$



$$\vec{E}' = 0 \text{ y } \vec{B}' = 0$$

$$\vec{E}_1 = \vec{E}_2 \text{ y } \vec{B}_1 = \vec{B}_2$$

9.2.2 Teorema de Unicidad: Campos EM armónicos

Demostración: Diferencia es que estaremos en medio con pérdidas



Tº Poynting será:

$$-\int_V \cancel{\vec{J}'^*} \cdot \vec{E}' dV = j\omega \int_V (\mu H_0'^2 - \varepsilon E_0'^2) dV + \int_V \sigma E_0'^2 dV + \oint_S \underbrace{(\vec{E}' \times \vec{H}'^*) \cdot d\vec{S}}$$

$$\boxed{\vec{J}' = 0}$$

$$\boxed{(\vec{E}' \times \vec{H}') \cdot \vec{n} \cdot dS = (\vec{n} \times \vec{E}') \cdot \vec{H}' \cdot dS = (\vec{H}' \times \vec{n}) \cdot \vec{E}' \cdot dS}$$

$$0 = j\omega \int_V (\mu H_0'^2 - \varepsilon E_0'^2) dV + \int_V \sigma E_0'^2 dV$$



Igualando parte real e imaginaria

$$\boxed{\vec{E}' = 0 \text{ y } \vec{B}' = 0}$$



$$\boxed{\vec{E}_1 = \vec{E}_2 \text{ y } \vec{B}_1 = \vec{B}_2}$$

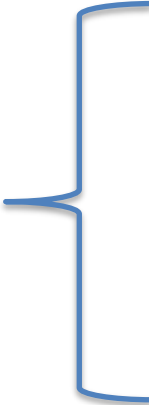
9.3 Teoría de imágenes

Sea distribución de fuentes en $V+$ superficie conductora S que rodea V



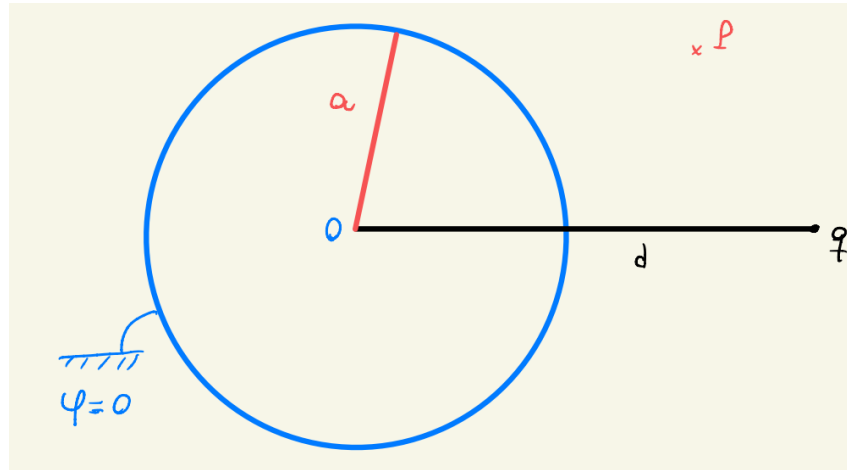
Buscamos distribución de fuentes ficticias que, junto reales, satisfagan las condiciones de contorno

Las distribuciones ficticias:

- 
- A blue bracket on the left side, grouping the three bullet points.
- Simulan a la superficie conductora, cambiando problema con límites a uno sin límites
 - Están fuera de la zona de cálculo
 - Producen solución válida en región donde están las cargas reales

9.3 Teoría de imágenes: ejemplo conceptual

-Sea una carga puntual q frente a una superficie esférica conductora conectada a tierra, hallar el campo eléctrico en un punto P cualquiera del espacio.



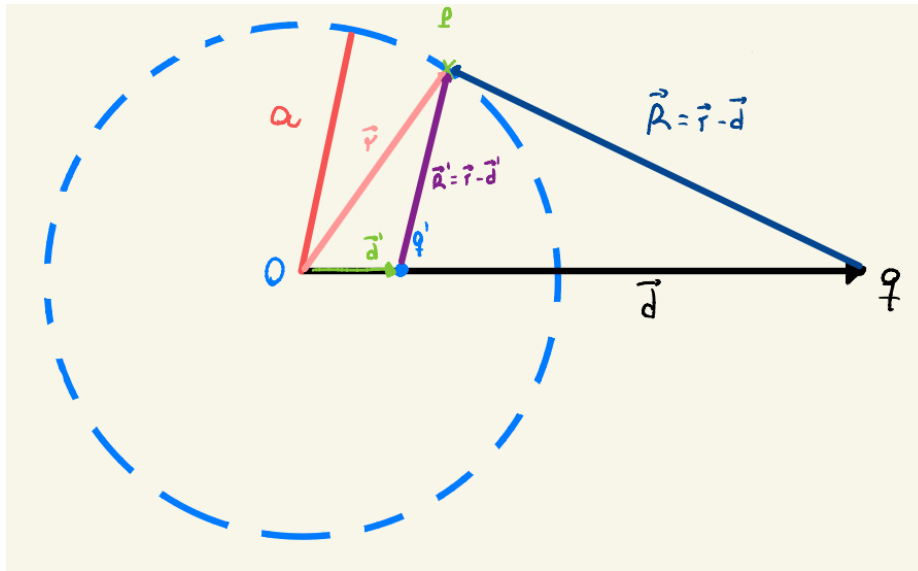
- Esfera conductora $\rightarrow \vec{E} = 0$ en su interior, y el potencial $\varphi = cte$. Como $\varphi = 0$ en la superficie, y es cte en el interior tal que debe ser continua $\rightarrow \varphi = 0$ en el interior.
- q frente a la esfera conductora reordenará las cargas de la superficie esférica, conque habrá en ella una densidad superficial distinta de cero.

9.3 Teoría de imágenes: ejemplo conceptual

Carga + superficie conductora \rightarrow Método de imágenes



Sustituimos sup. por carga / puntos en $r=a$ deben seguir verificando $\varphi = 0$



$$\vec{r} = r\hat{u}_r$$

$$\vec{d} = d\hat{u}_k$$

$$\vec{R} = r\hat{u}_r - d\hat{u}_k$$


$$\vec{d}' = d'\hat{u}_k$$

$$\vec{R}' = r\hat{u}_r - d'\hat{u}_k$$

9.3 Teoría de imágenes: ejemplo conceptual

Potencial en un punto cualquiera (externo a esfera): $\varphi(\vec{r}) = \frac{1}{4\pi\epsilon_0} \frac{q}{|r\widehat{u}_r - d\widehat{u}_k|} + \frac{1}{4\pi\epsilon_0} \frac{q'}{|r\widehat{u}_r - d'\widehat{u}_k|}$

Potencial en superficie: $\varphi(a, \theta, \gamma) = \frac{1}{4\pi\epsilon_0} \left[\frac{q}{d|\frac{a}{d}\widehat{u}_r - \widehat{u}_k|} + \frac{q}{a|\widehat{u}_r - \frac{d'}{a}\widehat{u}_k|} \right] = 0$



$$\left\{ \begin{array}{l} 1) \quad \left| \frac{a}{d}\widehat{u}_r - \widehat{u}_k \right| = \left| \widehat{u}_r - \frac{d'}{a}\widehat{u}_k \right| = \sqrt{\left(\frac{a}{d}\right)^2 + 1} = \sqrt{1 + \left(\frac{d'}{a}\right)^2} \\ 2) \quad \frac{q}{d} + \frac{q'}{a} = 0 \end{array} \right.$$

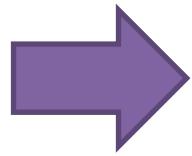
9.3 Teoría de imágenes: ejemplo conceptual



1) $\left(\frac{a}{d}\right)^2 + 1 = 1 + \left(\frac{d'}{a}\right)^2 \longrightarrow \frac{a}{d} = \frac{d'}{a} \longleftrightarrow \boxed{d' = \frac{a^2}{d}}$

2) $\frac{q}{d} + \frac{q'}{a} = 0 \longrightarrow \boxed{q' = -q \frac{a}{d}}$

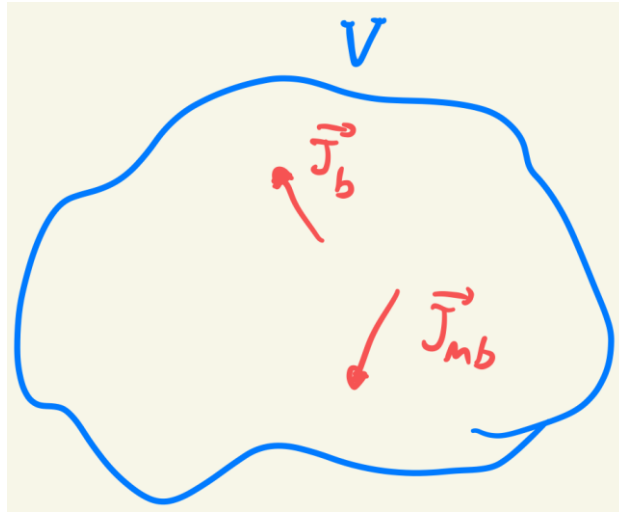
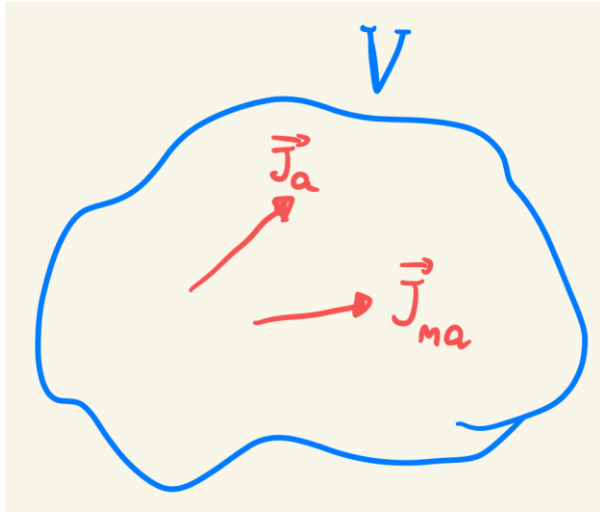




$$\vec{E} = \frac{1}{4\pi\epsilon_0} \left[\frac{q}{R^3} \vec{R} + \frac{-q \frac{a}{d}}{R'^3} \vec{R}' \right]$$

9.4 Teorema de reciprocidad de Lorentz

- Resolvemos problema en el mismo medio pero cambiando la distribución de fuentes, donde habrá una relación entre el campo EM obtenido y el original.



$$\begin{cases} \nabla \times \vec{H}_a = \vec{J}_a + j\omega\epsilon_0\vec{E}_a \\ \nabla \times \vec{E}_a = -\vec{J}_{ma} + j\omega\epsilon_0\vec{H}_a \\ \nabla \times \vec{H}_b = \vec{J}_b + j\omega\epsilon_0\vec{E}_b \\ \nabla \times \vec{E}_b = -\vec{J}_{mb} + j\omega\epsilon_0\vec{H}_b \end{cases}$$

9.4 Teorema de reciprocidad de Lorentz

$$\begin{aligned}\nabla \times \vec{H}_a &= \vec{J}_a + j\omega\epsilon_0\vec{E}_a \\ \nabla \times \vec{E}_a &= -\vec{J}_{ma} + j\omega\epsilon_0\vec{H}_a\end{aligned}$$

Calculemos:

$$\begin{aligned}\nabla \cdot (\vec{E}_b \times \vec{H}_a) &= -\vec{E}_b \cdot \nabla \times \vec{H}_a + \vec{H}_a \cdot \nabla \times \vec{E}_b = -j\omega\epsilon_0\vec{E}_a \cdot \vec{E}_b - j\omega\mu_0\vec{H}_a \cdot \vec{H}_b - \vec{E}_b \cdot \vec{J}_a - \vec{H}_a \cdot \vec{J}_{mb} \\ + \nabla \cdot (\vec{E}_a \times \vec{H}_b) &= \vec{E}_a \cdot \nabla \times \vec{H}_b - \vec{H}_b \cdot \nabla \times \vec{E}_a = j\omega\epsilon_0\vec{E}_a \cdot \vec{E}_b + j\omega\mu_0\vec{H}_a \cdot \vec{H}_b + \vec{E}_a \cdot \vec{J}_b + \vec{H}_b \cdot \vec{J}_{ma}\end{aligned}$$

Teorema de reciprocidad diferencial de Lorentz

$$-\nabla \cdot (\vec{E}_a \times \vec{H}_b - \vec{E}_b \times \vec{H}_a) = \vec{E}_a \cdot \vec{J}_b + \vec{H}_b \cdot \vec{J}_{ma} - \vec{E}_b \cdot \vec{J}_a - \vec{H}_a \cdot \vec{J}_{mb}$$

Integrando en V y recordando el teorema de la divergencia $\int_V \nabla \cdot \vec{K} dV = \oint_S \vec{K} \cdot d\vec{S}$

Teorema de reciprocidad integral de Lorentz

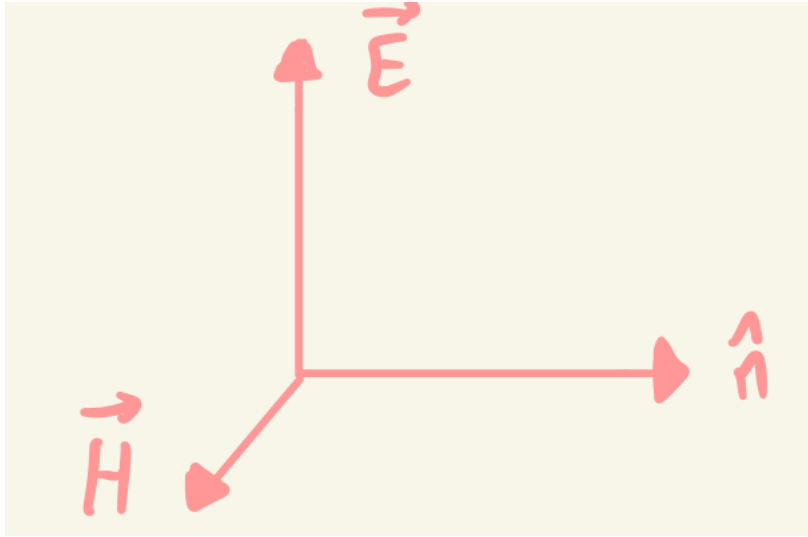
$$\oint_S (\vec{E}_a \times \vec{H}_b - \vec{E}_b \times \vec{H}_a) \cdot d\vec{S} = \int_V (-\vec{E}_a \cdot \vec{J}_b - \vec{H}_b \cdot \vec{J}_{ma} + \vec{E}_b \cdot \vec{J}_a + \vec{H}_a \cdot \vec{J}_{mb}) dV$$

9.4 Teorema de reciprocidad de Lorentz

Extendiendo integral hasta infinito, en ella priorizarán los campos de radiación, donde tendremos ondas planas:

$$\vec{H}_{rad,a} = \eta_0^{-1}(\hat{n} \times \vec{E}_{rad,a})$$

$$\vec{H}_{rad,b} = \eta_0^{-1}(\hat{n} \times \vec{E}_{rad,b})$$



$$\begin{aligned} \vec{E}_a \times \vec{H}_b - \vec{E}_b \times \vec{H}_a &\approx \\ &\approx \vec{E}_{rad,a} \times \vec{H}_{rad,b} - \vec{E}_{rad,b} \times \vec{H}_{rad,a} = \\ &= \eta_0^{-1} [\vec{E}_{rad,a} \times (\hat{n} \times \vec{E}_{rad,b}) - \vec{E}_{rad,b} \times (\hat{n} \times \vec{E}_{rad,a})] = 0 \end{aligned}$$

9.4 Teorema de reciprocidad de Lorentz

Por tanto:
$$\oint_S (\vec{E}_a \times \vec{H}_b - \vec{E}_b \times \vec{H}_a) \cdot d\vec{S} = \int_V (-\vec{E}_a \cdot \vec{J}_b - \vec{H}_b \cdot \vec{J}_{ma} + \vec{E}_b \cdot \vec{J}_a + \vec{H}_a \cdot \vec{J}_{mb}) dV = 0$$

Despejando, y asumiendo que las corrientes se encuentran encerradas en distintos volúmenes (integraremos donde las corrientes son no nulas):

$$\underbrace{\int_{V_a} (-\vec{H}_b \cdot \vec{J}_{ma} + \vec{E}_b \cdot \vec{J}_a) dV}_{< b, a >} = \underbrace{\int_{V_b} (-\vec{H}_a \cdot \vec{J}_{mb} + \vec{E}_a \cdot \vec{J}_b) dV}_{< a, b >}$$

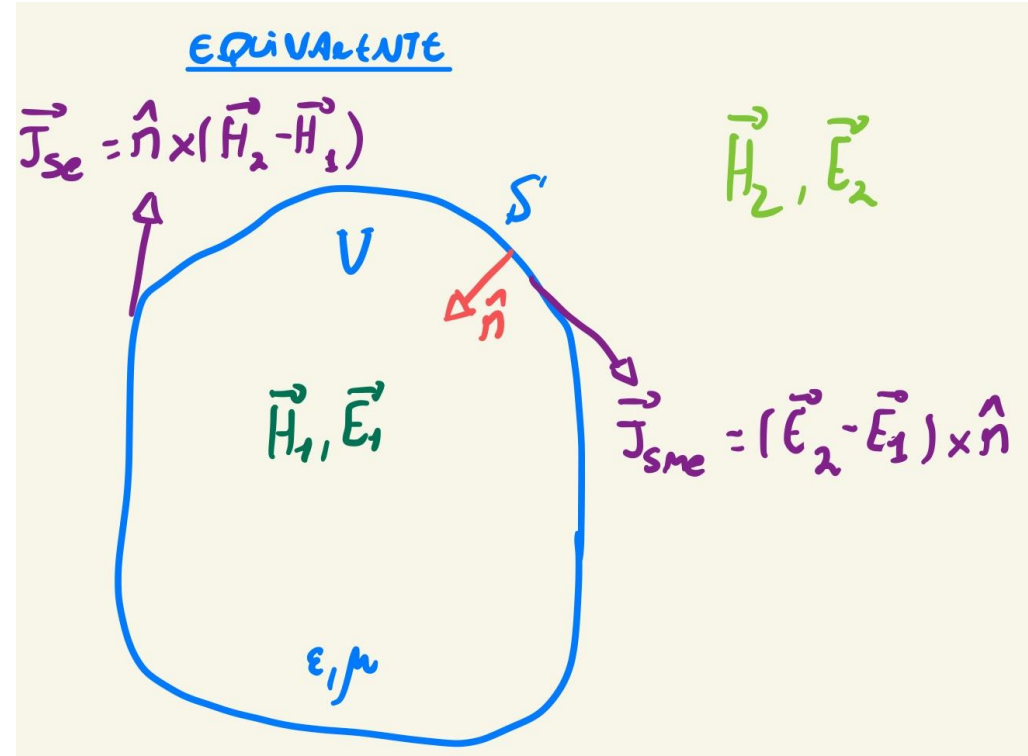
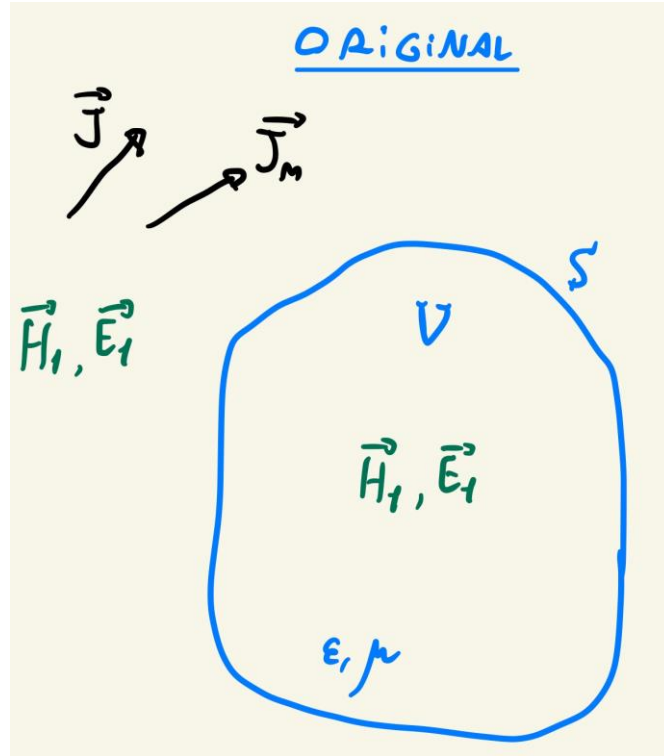
Reacción del campo “a” sobre las fuentes de “b”

Teorema de reciprocidad de Lorentz

$$< a, b > = < b, a >$$

9.5 Teorema de equivalencia

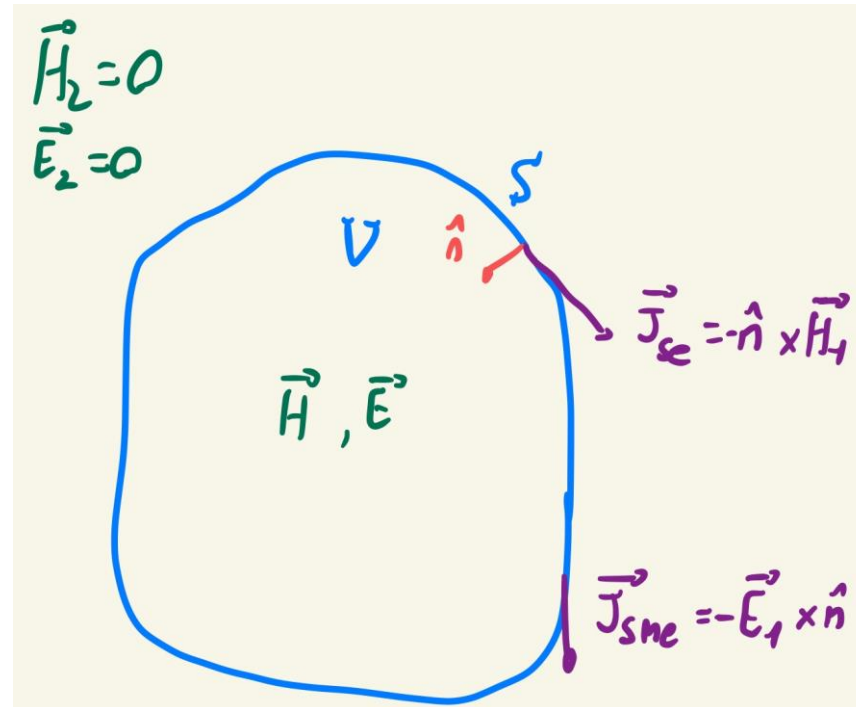
Si buscamos solución en el interior de V :



9.5.1 Equivalente de Love

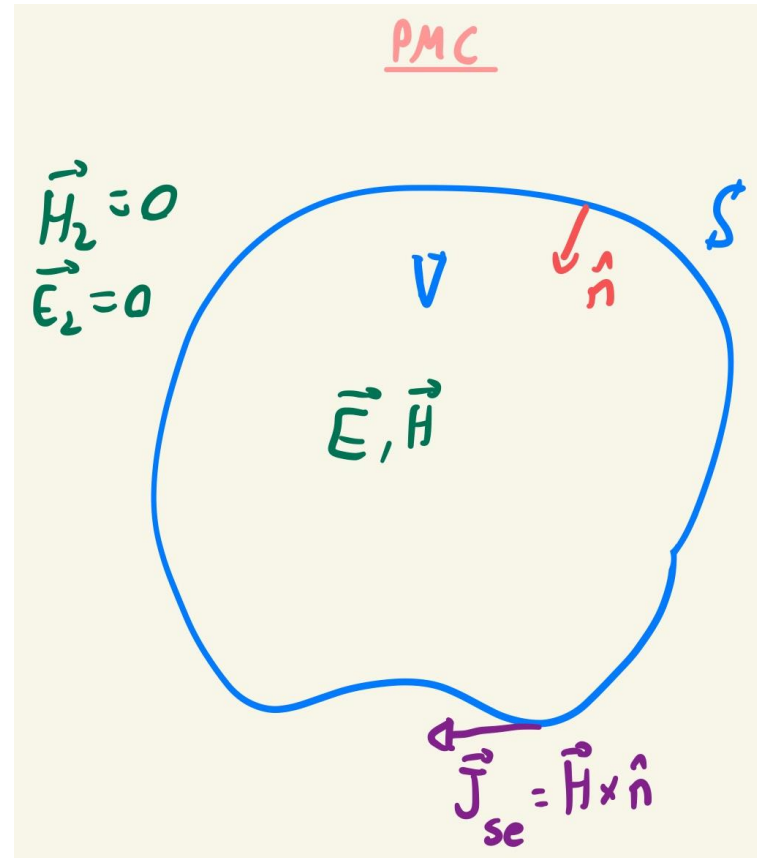
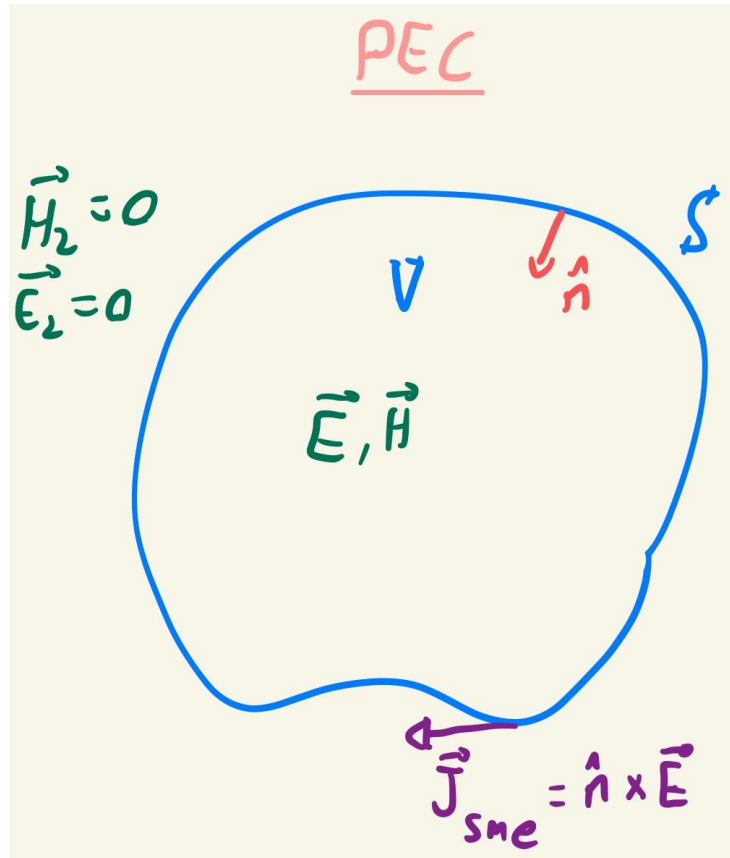
Queremos simplificar el teorema de equivalencia:

- Forzamos $\vec{E}_2 = 0$ y $\vec{H}_2 = 0 \quad \Rightarrow \quad \vec{J}_{se} = -\hat{n} \times \vec{H}_1$ y $\vec{J}_{sme} = -\vec{E}_1 \times \hat{n}$ (en medio homogéneo indefinido)



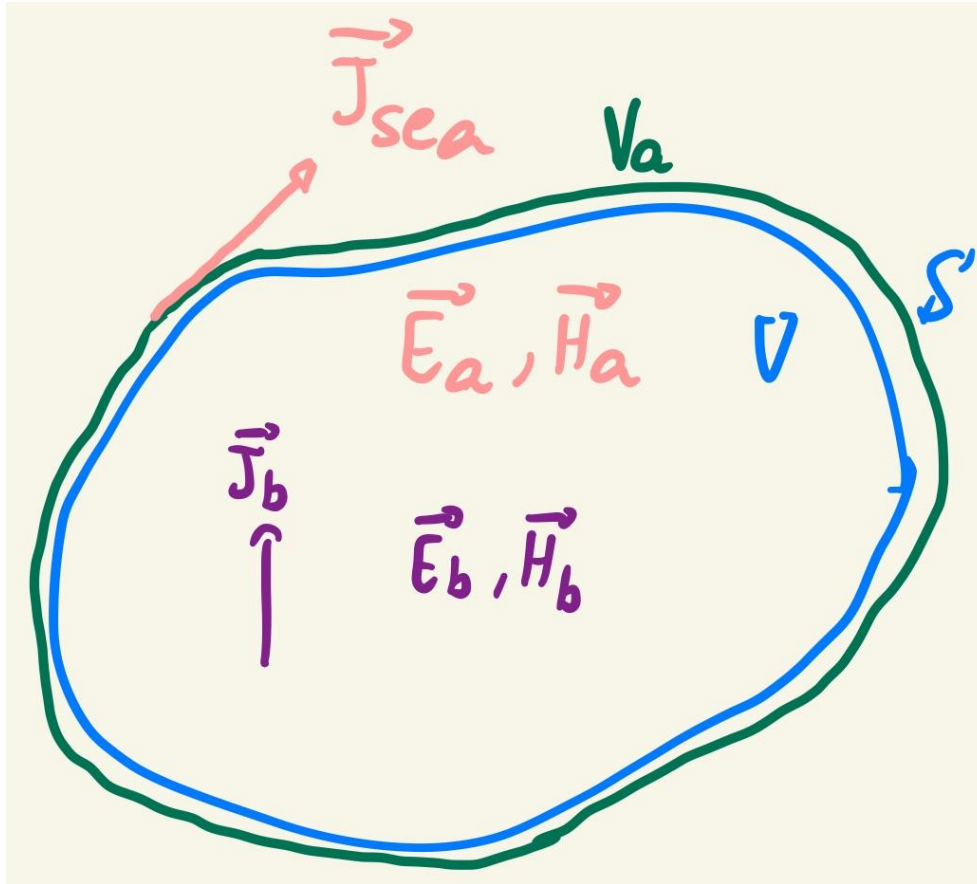
9.5.1.1 Principio de Equivalencia de Schelkunoff

Simplificamos equivalente de Love: modificamos región de no interés



9.5.1.1 Principio de Equivalencia de Schelkunoff

Demostración PEC: Nos ayudaremos del teorema de reciprocidad.



$$\vec{J}_b(\vec{r}) = \delta(x - x_i)\delta(y - y_i)\delta(z - z_i)I \cdot d\vec{l}$$

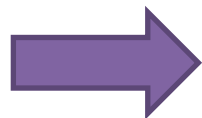
$$\vec{J}_{ma} = \vec{J}_{mb} = 0$$

9.5.1.1 Principio de Equivalencia de Schelkunoff

Demostración PEC: Nos ayudaremos del teorema de reciprocidad.

$$\begin{aligned} \int_{V_a} (-\vec{H}_b \cdot \vec{J}_{ma} + \vec{E}_b \cdot \vec{J}_{sea}) dV &= \int_V (-\vec{H}_a \cdot \vec{J}_{mb} + \vec{E}_a \cdot \vec{J}_b) dV = \\ &= \int_{V_a} \vec{E}_b \cdot \vec{J}_{sea} dV = \int_V \vec{E}_a \cdot \vec{J}_b dV = \int_V \vec{E}_a \cdot \delta(x - x_i) \delta(y - y_i) \delta(z - z_i) I \cdot d\vec{l} dV = \vec{E}_a(\vec{r}) \cdot d\vec{l} \end{aligned}$$

$$\int_S \vec{E}_b \cdot \vec{J}_{sea} ds = \vec{E}_a(\vec{r}) \cdot d\vec{l}$$
$$\hat{n} \times \vec{E}_b = 0 = E_{bt} \Big|_s$$
$$\vec{E}_a = 0$$



En PEC, \vec{J}_{sea} no produce ningún campo, conque tendremos que calcular los campos en V con \vec{J}_{sme}



Por dualidad, en PMC, será \vec{J}_{se} quien produzca los campos